

- 7. Болдырев К. Н. Спектроскопическое исследование редкоземельных алюминиевых и хромовых боратов со структурой хантита: автореф. дис. ... канд. физ.-мат. наук: 01.04.05 / Болдырев Кирилл Николаевич. Троицк, 2011. 28 с.
- 8. Соколов А. Э. Магнитный круговой дихроизм и оптическая спектроскопия иона  $Tm^{3+}$  в монокристалле  $TmAl_3(BO_3)_4$ : автореф. дис. ... канд. физ.-мат. наук: 01.04.11 / Соколов Алексей Эдуардович. Красноярск, 2010.23 с.
- 9. Energy transfer from Er<sup>3+</sup> to Tm<sup>3+</sup> and Ho<sup>3+</sup> ions in crystals / L. F. Johnson, L. G. Van Uitern, J. J. Rubin, R. A. Thomas // Physical Review. 1964. Vol. 133. № 2A. P. 494–498.
- 10. Enhanced white light emission in Er/Tm/Yb/Li codoped Y<sub>2</sub>O<sub>3</sub> nanocrystals / Y. Bai, Y. Wang, G. Peng, W. Zhang, Y. Wang, K. Yang, X. Zhang, Y. Song // Optics Communications. 2009. Vol. 282. P. 1922–1924.
- 11. Синтез и исследование ИК-люминесценции твердых растворов  $(Y_{1-X}Yb_X)_2O_3$  при лазерном возбуждении / О. Я. Манаширов, В. А. Воробьев, Б. М. Синельников, Е. М. Зверева // Вестник СевКав ГТУ. 2011. № 8. С. 14-24.
- 12. Broadband amplified spontaneous emission from an Er³+-Tm³+-codoped silica fiber / H. Jeong, K. Oh, S. R. Han, T. F. Morse // Optics letters. 2003. Vol. 28. № 3. P. 161–163.
- 13.  $ND^{3+} \rightarrow YB^{3+}$  ENERGY TRANSFER IN THE YAL<sub>3</sub>(BO<sub>3</sub>)<sub>4</sub> NONLINEAR LASER CRYSTAL / D. JAQUE, M. O. RAMIREZ, L. E. BAUSA, J. G. SOLE, E. CAVALLI, A. SPHEGHINI, M. BETINELLI // PHYS. REV. B. 2003. VOL. 68.

УДК 544.03:546.65

### Поздняков Егор Игоревич

# СИНТЕЗ И ИЗУЧЕНИЕ ЛЮМИНЕСЦЕНТНЫХ СВОЙСТВ ТВЕРДЫХ РАСТВОРОВ (Y<sub>1-X-Y-Z</sub>YB<sub>X</sub>ER<sub>Y</sub>HO<sub>Z</sub>)<sub>3</sub>AL<sub>5</sub>O<sub>12</sub> ПРИ ЛАЗЕРНОМ ВОЗБУЖДЕНИИ

Синтезированы твердые растворы состава  $(Y_{1-x-y-z}Yb_xEr_yHo_z)_3Al_5O_{12}$ , изучены их люминесцентные характеристики, установлены зависимости интенсивности стоксовой ИК-люминесценции в диапазонах 0.96-1.1 мкм и 1.44-1.68 мкм, 1.83-2.15 мкм, от концентрации ионов,  $Yb^{3+}$ ,  $Er^{3+}$ ,  $Ho^{3+}$ , при возбуждении лазерным излучением с длиной волны 0.94 мкм. Проведен анализ полученных зависимостей и определен оптимальный состав люминофора  $(Y_{0.85-x}Yb_{0.1}Er_{0.05}Ho_x)_3Al_5O_{12}$ , обеспечивающий максимальную эффективность преобразования энергии из ближней ИК-области в область 2100 нм.

Ключевые слова: редкоземельные элементы, люминесценция,  $Y_3Al_5O_{12}$ , эрбий, гольмий, иттербий.

#### Pozdnyakov Egor I.

## THE SYNTHESIS AND STUDY OF THE LUMINESCENCE PROPERTIES OF SOLID SOLUTIONS $(Y_{1\cdot X\cdot Y\cdot Z}YB_XER_YHO_Z)_3AL_5O_{12}$ WITH LASER EXCITATION

Synthesized solid solutions of  $(Y_{1-x-y-z}Yb_xEr_yHo_z)_3Al_5O_{12}$ , studied their luminescence characteristics, the dependence of the intensity of the Stokes IR luminescence band 0,96–1.1 microns and 144–1.68 microns, 1,83–2,15 microns, the concentration of ions,  $Yb^{3+}$ ,  $Er^{3+}$ ,  $Ho^{3+}$ , when excited by laser radiation with a wavelength of 0,94 microns. The analysis of the obtained relationships and determined the optimal composition of the phosphor  $(Y_{0,85-x}Yb_{0,1}Er_{0,05}Ho_x)_3Al_5O_{12}$ , for maximum energy conversion efficiency from the near-infrared region at 2100 nm.

Key words: rare earth elements, luminescence,  $Y_3Al_5O_{12}$ , erbium, holmium, ytterbium.

На современном этапе развития науки и техники остро стоит вопрос поиска материалов, способных эффективно преобразовывать энергию из ближнего ИК-диапазона в диапазон более 2 мкм. Полидисперсные люминофоры на основе алюминатов РЗЭ со структурой граната давно известны как материалы, обладающие большим набором положительных качеств, таких как: высокая температурная, радиационная и химическая стойкость, также они положительно проявляют себя при высоких плотностях накачки или возбуждения, обладают отличными механическими и оптическими свойствами. Однако до настоящего времени порошковые люминофоры на основе соединений со структурой граната не изучались применительно к преобразованию энергии из ближнего ИК-диапазона в диапазон > 2000 нм. Поэтому исследования, направленные на поиск редкоземельных активаторов для алюмоиттриевого граната и их сочетаний, способных к преобразованию энергии в требуемых спектральных диапазонах является важной и актуальной задачей.



Объектом исследования служили концентрационные серии образцов твердых растворов,  $(Y_{1-x-y-z}Yb_xEr_yHo_z)_3Al_5O_{12}$ , где  $0 \le x \le 1$ ,  $0 \le y \le 1$ ,  $0 \le z \le 1$ . Требования к исходным веществам, а также методики проведения рентгено-фазового анализа и измерения спектров люминесценции приведены в работах [1, 2].

Анализ литературных данных показал, что для получения полос люминесценции в области 2100 нм наиболее приемлемым является ион гольмия за счет уникальной структуры термов, которые обеспечивают эффективное преобразование энергии из ближней ИК-области в энергию требуемого диапазона. Однако для эффективного протекания процесса преобразования энергии возбуждающего излучения с длиной волны 940 нм, необходимо дополнительно вводить в состав люминофора сенсибилизирующие ионы. Сопоставление энергетических структур ионов иттербия, эрбия и гольмия показало, что излучательные уровни этих ионов находятся в некоторой близости по значению энергии, и, предположительно, между ними может эффективно протекать передача энергии.

Проведя сопоставительный анализ схем энергетических уровней ионов иттербия, гольмия и эрбия, сделан вывод о том, что энергетический зазор  $\Delta E$  между возбужденными уровнями  $^5I_6$  иона  $Ho^{3+}$  и  $^4I_{11/2}$  иона  $Er^{3+}$  значительно меньше максимальной энергии фонона в кристаллической решетке алюмоиттриевого граната [3]. Кроме того, возможны безызлучательные переходы между излучательными уровнями иона эрбия  $^4I_{13/2}$  и излучательным уровнем  $^5I_8$  иона гольмия (рис. 1).

Для проверки возможности преобразования энергии из области возбуждения (940 нм) в область 2100 нм проведен синтез концентрационной серии образцов люминофоров с общей формулой  $(Y_{0.85-x}Yb_{0.1}Er_{0.05}Ho_x)_3Al_5O_{12}$ , где  $(10^{-4} \le x \le 10^{-1})$ .

Концентрация ионов иттербия выбрана как оптимальная, обеспечивающая максимальную интенсивность люминесценции в области 0.96-1.1 мкм в твердом растворе  $(Y_{1-x}Yb_x)_3Al_5O_{12}$  [1]. Концентрация ионов эрбия также выбрана как оптимальная, при которой обусловливается максимальная интенсивность люминесценции в области 1.5 мкм в твердом растворе  $(Y_{0.9-x}Yb_{0.1}Er_x)_3Al_5O_{12}$  [2].

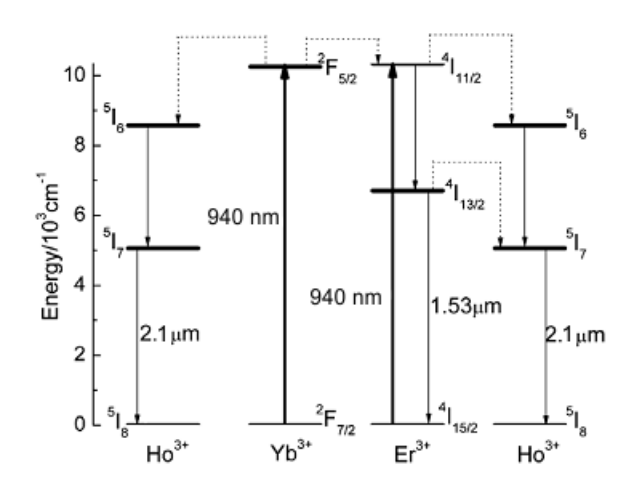


Рис. 1. Схема возможных энергетических переходов в твердых растворах  $(Y_{0,85-x}Yb_{0,1}Er_{0,05}Ho_x)_3Al_5O_{12}$  при возбуждении лазерным излучением с длиной волны 940 нм [4]

На рисунках 2, 3, 4 приведены фрагменты спектров стоксовой ИК-люминесценции твердых растворов  $(Y_{0.85-x}Yb_{0.1}Er_{0.05}Ho_x)_3Al_5O_{12}$ .

Спектр стоксовой ИК-люминесценции представляет собой три широких области полос люминесценции в следующих диапазонах длин волн: 0,96-1,1 мкм, обусловленные излучательными переходами между штарковскими компонентами уровней в ионе иттербия  ${}^2F_{7/2} \rightarrow {}^2F_{5/2}$  [1, 2]; 1,44-1,68 мкм, обусловленные излучательными переходами между штарковскими компонентами уровней  ${}^4I_{13/2} \rightarrow {}^4I_{15/2}$  в ионе эрбия [5]; 1,83-2,15 мкм, обусловленные излучательными переходами между штарковскими компонентами уровней  ${}^5I_7 \rightarrow {}^5I_8$  в ионе гольмия [4].



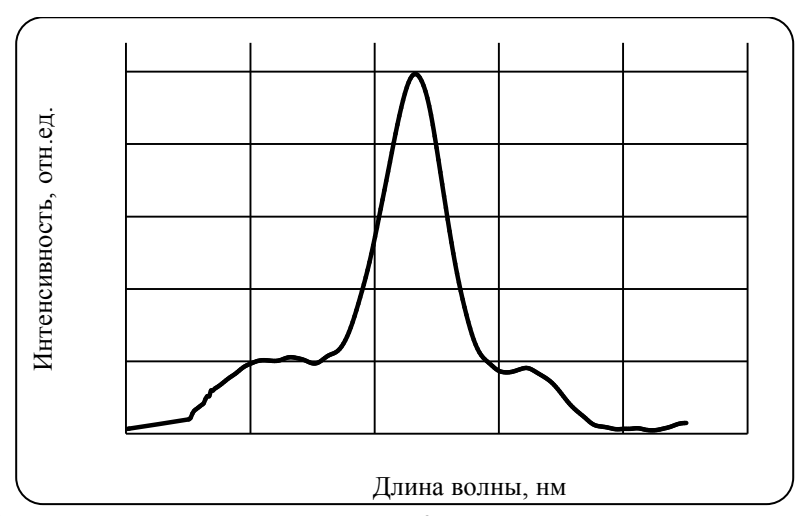


Рис. 2. Фрагмент спектра стоксовой ИК-люминесценции твердыхрастворов  $(Y_{0.85-x}Yb_{0.1}Er_{0.05}Ho_x)_3Al_5O_{12}$  в области 990—1070 нм при возбуждении лазерным излучением с длиной волны 940 нм

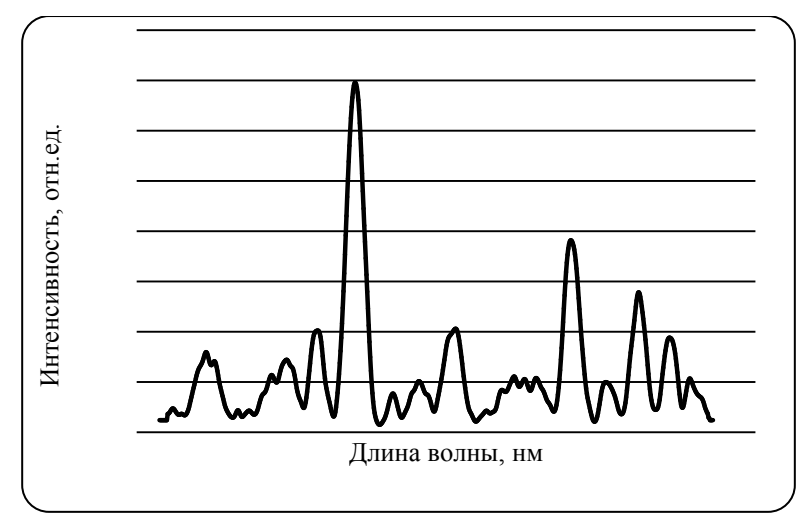


Рис. 3. Фрагмент спектра стоксовой ИК-люминесценции твердых растворов  $(Y_{0.85-x}Yb_{0.1}Er_{0.05}Ho_x)_3Al_5O_{12}$  в области 1440—1680 нм при возбуждении лазерным излучением с длиной волны 940 нм

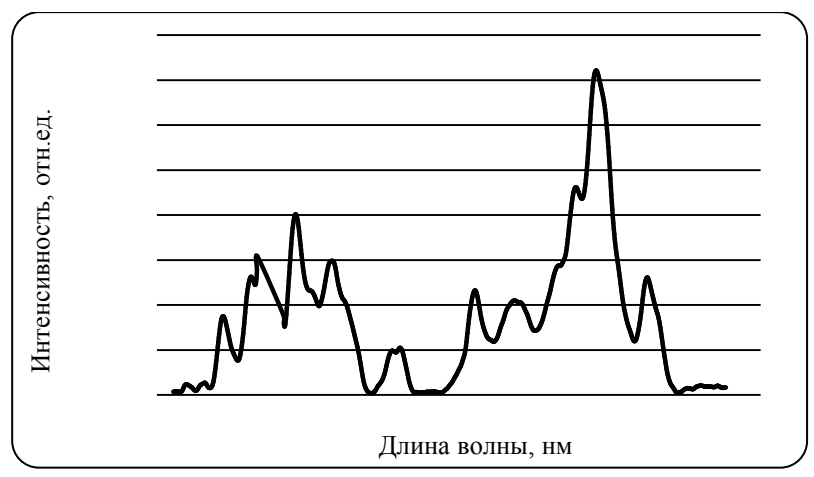


Рис. 4. Фрагмент спектра стоксовой ИК-люминесценции твердых растворов  $(Y_{0,85-x}Yb_{0,1}Er_{0,05}Ho_x)_3Al_5O_{12}$  в области 1830-2150 нм при возбуждении лазерным излучением с длиной волны 940 нм



Сравнительный анализ спектров люминесценции твердых растворов  $(Y_{0,85-x}Yb_{0,1}Er_{0,05}Ho_x)_3Al_5O_{12}$  при возбуждении излучением 0,94 мкм позволил сделать вывод, что с увеличением концентрации  $Ho^{3+}$  существенно меняется интенсивность ИК-полос излучения в области 1450–2160 нм в пользу более длинноволновых полос. Такое изменение соотношения интенсивностей ИК-полос люминесценции  $Ho^{3+}$  может быть связано как с тривиальной реабсорбцией, так и с изменением при увеличении концентрации  $Ho^{3+}$  характера миграции энергии возбуждения по объему кристалла люминофора, в результате чего преимущественно оказываются заселенными низко расположенные по энергии метастабильные уровни ионов гольмия. Помимо этого, с увеличением концентрации ионов гольмия растет вероятность осуществления процессов заселения излучательных уровней ионов  $Ho^{3+}$ , соответственно происходит более интенсивный отток энергии с излучательных уровней ионов  $Er^{3+}$ .

На рисунке 5 приведена зависимость интенсивности стоксовой ИК-люминесценции твердых растворов  $(Y_{0.85-x}Yb_{0.1}Er_{0.05}Ho_x)_3Al_5O_{12}$  в области 2,1 мкм от концентрации ионов гольмия.

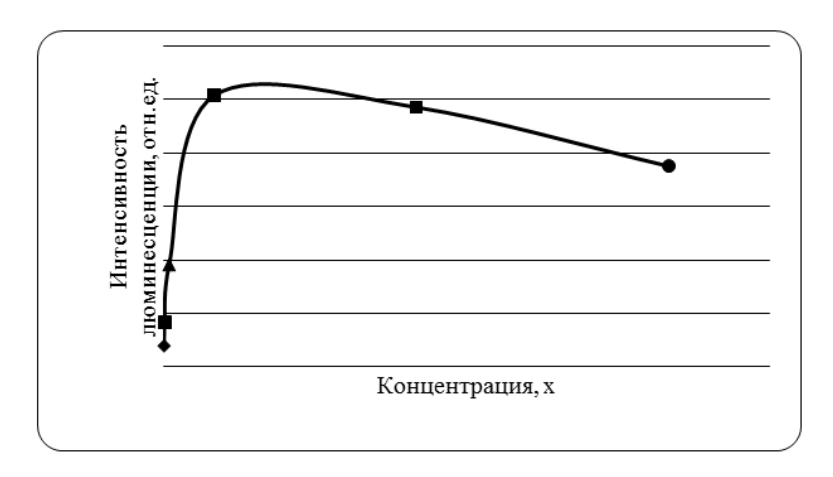


Рис. 5. Зависимость интенсивности стоксовой ИК-люминесценции твердых растворов  $(Y_{0,85-x}Yb_{0,1}Er_{0,05}Ho_x)_3Al_5O_{12}$  в области 2100 нм от концентрации ионов  $Ho^{3+}$ 

Характер указанной зависимости дает основания полагать, что в указанной системе при изменении концентрации ионов гольмия происходит совместное конкурирующее действие нескольких процессов, один из которых способствует усилению, а другие – ослаблению стоксовой ИК-люминесценции ионов гольмия в  $(Y_{0,85-x}Yb_{0,1}Er_{0,05}Ho_x)_3Al_5O_{12}$  при ИК-возбуждении. При низких концентрациях  $Ho^{3+}$  ( $0 \le x \cdot 10^{-3}$ ) увеличение их содержания в твердом растворе приводит почти к пропорциональному росту интенсивности ИК-люминесценции в области 2,1 мкм, что объясняется симбатным увеличением количества поглощающих и излучающих ионов гольмия. При таких концентрациях гольмия скорость миграции возбуждения по ионам активатора невелика, поэтому роль процессов, которые приводят к тушению стоксовой ИК-люминесценции гольмия в области 2.1 мкм, весьма незначительна. При дальнейшем увеличении концентрации ионов гольмия  $(10^{-3} \le x \le 10^{-2})$  происходит значительное увеличение вероятности миграции энергии, а также пространственное сближение возбужденных ионов гольмия с различными тушащими центрами и, как следствие, развитие процесса тушения. В результате совместного конкурирующего действия вышеуказанных процессов дальнейший рост интенсивности стоксовой ИК-люминесценции в области 2,1 мкм замедляется, при концентрации ионов гольмия x = 0.01достигает своего максимального значения.

Также значительное влияние концентрация ионов гольмия оказывает на соотношение и интенсивность других полос люминесценции, обусловленных оптическими переходами внутри ионов иттербия и эрбия.

На рисунке 6 представлены логарифмические зависимости интенсивности люминесценции в полосах 1036 нм и 1652 нм от концентрации гольмия.



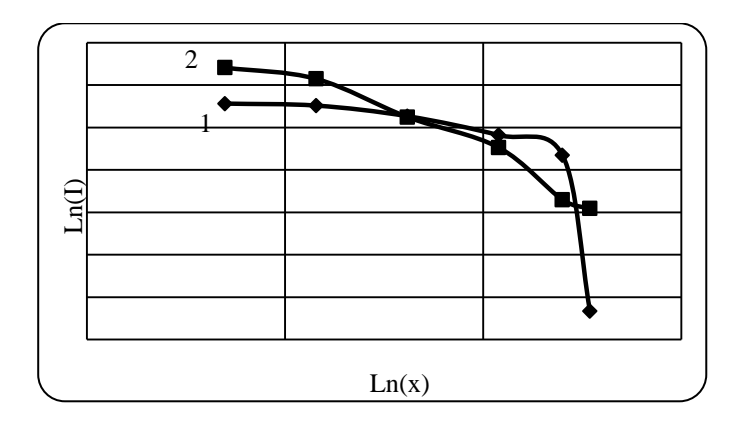


Рис. 6. Логарифмические зависимости интенсивности люминесценции в полосах 1) 1036 нм; 2) 1652 нм в твердом растворе  $(Y_{0.85-x}Yb_{0.1}Er_{0.05}Ho_x)_3Al_5O_{12}$  от концентрации ионов Ho<sup>3+</sup>

Как видно из представленного рисунка, обе зависимости имеют вид затухающих кривых. При нулевой концентрации ионов гольмия интенсивность полосы люминесценции в области 1036 нм максимальна. При увеличении концентрации ионов гольмия в пределах ( $10^{-4} \le x \le 5 \cdot 10^{-2}$ ) наблюдается существенное уменьшение интенсивности люминесценции в области 1036 нм. При дальнейшем увеличении концентрации ионов гольмия наблюдается более резкое падение интенсивности люминесценции, которое достигает минимума при максимальной концентрации ионов гольмия ( $x = 10^{-1}$ ).

Аналогично для полосы люминесценции в области 1652 нм при нулевой концентрации ионов гольмия интенсивность этой полосы люминесценции максимальна, и при увеличении концентрации ионов гольмия интенсивность этой полосы люминесценции значительно снижается, и при максимальной концентрации ионов гольмия становится минимальной.

Такие зависимости свидетельствуют об эффективном оттоке энергии с излучательных уровней иттербия и эрбия на излучательные уровни иона  ${\rm Ho}^{3+}$ , тем самым увеличивая его населенность носителями заряда и вероятность излучательных процессов со штарковских компонентов уровня  ${}^5{\rm I}_7$  на основной уровень  ${}^5{\rm I}_8$  иона  ${\rm Ho}^{3+}$ .

На основе анализа указанных зависимостей можно сделать вывод, что концентрация ионов гольмия вносит существенный вклад в общий характер люминесценции, интенсивность и соотношение полос люминесценции в твердых растворах  $(Y_{0.85-x}Yb_{0.1}Er_{0.05}Ho_x)_3Al_5O_{12}$  и дает основания полагать, что наряду с процессом последовательной передачи энергии возбуждающего излучения через излучательные уровни ионов иттербия, эрбия на ион гольмия существует процесс прямой передачи энергии возбуждения с излучательного уровня иона иттербия на ион гольмия.

Таким образом, на основе вышеизложенного, а также с учетом данных о значении энергии уровней ионов эрбия и гольмия в кристаллической решетке АИГ, приведенных авторами [6, 7], можно предположить, что механизм люминесценции твердого раствора  $(Y_{0.85-x}Yb_{0.1}Er_{0.05}Ho_x)_3Al_5O_{12}$  при ИК-возбуждении протекает следующим образом.

При возбуждении твердых растворов  $(Y_{0.85-x}Yb_{0.1}Er_{0.05}Ho_x)_3Al_5O_{12}$  лазерным излучением с длиной волны 0,94 мкм электроны из основного состояния  $^2F_{7/2}$  иона  $Yb^{3+}$  поглощают фотоны энергии и переходят в возбужденное состояние  $^2F_{5/2}$ . Разница энергий между ближайшими штарковскими компонентами в данном случае составляет

$$\Delta E = 10327 \text{ cm}^{-1} - 8500 \text{ cm}^{-1} = 1827 \text{ cm}^{-1}.$$

При этом часть энергии расходуется на излучательный переход при переходе электронов обратно на основной уровень, что обусловливает появление люминесценции в области 0,96–1,1 мкм. В данном случае разница энергий между ближайшими штарковскими компонентами данных уровней составляет

$$\Delta E = 10327 \text{ cm}^{-1} - 785 \text{ cm}^{-1} = 9542 \text{ cm}^{-1}$$

что соответствует 11 энергиям фонона в кристаллической решетке АИГ, поэтому в данном случае происходит излучательный переход.



В то же время существует вероятность прямой передачи энергии между ионами иттербия и гольмия. В таком случае с возбужденного состояния  ${}^2F_{5/2}$  иона  $Yb^{3+}$  энергия передается на уровень  ${}^5I_6$  иона  $Ho^{3+}$ , при этом энергетический зазор между указанными уровнями составляет

$$\Delta E = 10327 \text{ cm}^{-1} - 8954 \text{ cm}^{-1} = 1373 \text{ cm}^{-1}$$

что соответствует величине около 1,6 энергии фонона в кристаллической решетке АИГ, поэтому в данном случае передача энергии происходит безызлучательно.

Энергия, запасенная на уровне  ${}^5\mathrm{I}_6$  иона  $\mathrm{Ho}^{3+}$ , безызлучательно релаксирует на нижележащий уровень  ${}^5\mathrm{I}_7$ . Энергетический зазор между ближайшими штарковскими компонентами указанных уровней составляет

$$\Delta E = 8721 \text{ cm}^{-1} - 5467 \text{ cm}^{-1} = 3254 \text{ cm}^{-1}$$

что соответствует примерно 3,8 энергии фонона в кристаллической решетке АИГ. Это подтверждает, что в данном случае передача энергии происходит безызлучательно.

С уровня  ${}^5\mathrm{I}_7$  иона гольмия происходит излучательный переход  ${}^5\mathrm{I}_7 \to {}^5\mathrm{I}_8$  с появлением полос люминесценции в области 2100 нм. Разница энергий между ближайшими штарковскими компонентами указанных уровней составляет

$$\Delta E = 5303 \text{ cm}^{-1} - 531 \text{ cm}^{-1} = 4772 \text{ cm}^{-1},$$

что соответствует 5,5 энергий фонона в кристаллической решетке  $AU\Gamma$ , поэтому в данном случае процесс излучательной передачи более вероятен.

Уровень  ${}^4I_{11/2}$  иона  $Er^{3^+}$  является более близким по значению энергии к уровню  ${}^2F_{5/2}$  иона  $Yb^{3^+}$  ( $\Delta E=87$  см $^{-1}$ ), чем уровень  ${}^4I_{11/2}$  иона  $Ho^{3^+}$  ( $\Delta E=1373$  см $^{-1}$ ), соответственно можно сделать вывод, что механизм передачи энергии по схеме  ${}^2F_{5/2}$  ( $Yb^{3^+}$ ) $\rightarrow {}^4I_{11/2}$  ( $Er^{3^+}$ ) является более вероятным, чем процесс передачи энергии по схеме  ${}^2F_{5/2}$  ( $Yb^{3^+}$ ) $\rightarrow {}^5I_6$  ( $Ho^{3^+}$ ), при этом часть энергии с возбужденного уровня  ${}^2F_{5/2}$  иона  $Yb^{3^+}$  резонансно передается на уровень  ${}^4I_{11/2}$  иона  $Er^{3^+}$ , откуда часть энергии сразу передается на уровень  ${}^5I_6$  иона  $Ho^{3^+}$ . При этом разность энергий между ближайшими штарковскими компонентами уровней  ${}^4I_{11/2}$  иона  $Er^{3^+}$  и  ${}^5I_6$  иона  $Ho^{3^+}$  составляет

$$\Delta E = 10174 \text{ cm}^{-1} - 8954 \text{ cm}^{-1} = 1220 \text{ cm}^{-1}$$

что соответствует примерно 1,4 энергии фонона в кристаллической решетке АИГ. Это подтверждает, что в данном случае передача энергии происходит безызлучательно.

Данный процесс можно представить в виде:

```
 \begin{array}{l} {}^{2}F_{7/2}\left(Yb^{3+}\right) + hv_{940_{HM}} \rightarrow {}^{2}F_{5/2}\left(Yb^{3+}\right) \\ {}^{4}I_{15/2}\left(Er^{3+}\right) + hv_{940_{HM}} \rightarrow {}^{4}I_{11/2}\left(Er^{3+}\right) \\ {}^{2}F_{5/2}\left(Yb^{3+}\right) + {}^{4}I_{15/2}\left(Er^{3+}\right) \rightarrow {}^{2}F_{7/2}\left(Yb^{3+}\right) + {}^{4}I_{11/2}\left(Er^{3+}\right) \\ {}^{4}I_{11/2}\left(Er^{3+}\right) + {}^{5}I_{8}\left(Ho^{3+}\right) \rightarrow {}^{4}I_{15/2}\left(Er^{3+}\right) + {}^{5}I_{6}\left(Ho^{3+}\right) \\ {}^{5}I_{6}\left(Ho^{3+}\right) \rightarrow {}^{5}I_{7}\left(Ho^{3+}\right) \\ {}^{5}I_{7}\left(Ho^{3+}\right) \rightarrow {}^{5}I_{8}\left(Ho^{3+}\right) + hv_{2100_{HM}} \end{array}
```

Третий канал заселения излучательного уровня  $^5I_7$  иона  $Ho^{3+}$  заключается в следующем процессе. Часть энергии с возбужденного уровня  $^2F_{5/2}$  иона  $Yb^{3+}$  передается на уровень  $^4I_{11/2}$  иона  $Er^{3+}$ , затем энергия за счет многофононной релаксации передается на нижележащий уровень  $^4I_{13/2}$ . С уровня  $^4I_{13/2}$  иона  $Er^{3+}$  энергия передается на уровень  $^5I_7$  иона  $Ho^{3+}$ . При этом разность энергий между ближайшими штарковскими компонентами указанных уровней составляет

$$\Delta E = 6471 \text{ cm}^{-1} - 5467 \text{ cm}^{-1} = 1004 \text{ cm}^{-1}$$

что соответствует примерно 1,1 энергии фонона в кристаллической решетке АИГ. Это подтверждает, что в данном случае передача энергии происходит безызлучательно.

С уровня  ${}^4I_{13/2}$  иона эрбия происходит излучательный переход между штарковскими компонентами уровней  ${}^4I_{13/2} \rightarrow {}^4I_{15/2}$  с появлением полос люминесценции в области 1440–1680 нм. В данном случае разница энергии между штарковскими компонентами указанных уровней меняется от6471 см $^{-1}$  до 6895 см $^{-1}$ .

С уровня  ${}^5\mathrm{I}_7$  иона гольмия происходит излучательный переход  ${}^5\mathrm{I}_7 \to {}^5\mathrm{I}_8$  с появлением полос люминесценции в области 2100 нм. Разница энергий между ближайшими штарковскими компонентами указанных уровней составляет

$$\Delta E = 5303 \text{ cm}^{-1} - 531 \text{ cm}^{-1} = 4772 \text{ cm}^{-1}$$

что составляет 5,5 энергий фонона в кристаллической решетке АИГ, поэтому в данном случае, процесс излучательной передачи более вероятен.

Данный процесс можно представить в виде



```
 ^{2}F_{7/2}\left(Yb^{3+}\right) + h\nu_{940\text{HM}} \rightarrow ^{2}F_{5/2}\left(Yb^{3+}\right) \\ ^{4}I_{15/2}\left(Er^{3+}\right) + h\nu_{940\text{HM}} \rightarrow ^{4}I_{11/2}\left(Er^{3+}\right) \\ ^{2}F_{5/2}\left(Yb^{3+}\right) + ^{4}I_{15/2}\left(Er^{3+}\right) \rightarrow ^{2}F_{7/2}\left(Yb^{3+}\right) + ^{4}I_{11/2}\left(Er^{3+}\right) \\ ^{4}I_{11/2}\left(Er^{3+}\right) \rightarrow ^{4}I_{13/2}\left(Er^{3+}\right) \\ ^{4}I_{13/2}\left(Er^{3+}\right) + ^{5}I_{8}\left(Ho^{3+}\right) \rightarrow ^{4}I_{15/2}\left(Er^{3+}\right) + ^{5}I_{7}\left(Ho^{3+}\right) \\ ^{5}I_{7}\left(Ho^{3+}\right) \rightarrow ^{5}I_{8}\left(Ho^{3+}\right) + h\nu_{2100\text{HM}}
```

В пользу указанного механизма также говорит тот факт, что энергия, запасаемая на возбужденном уровне иона эрбия  ${}^4I_{11/2}$ , частично переходит безызлучательно на возбужденный уровень  ${}^5I_6$  иона гольмия, что приводит к снижению интенсивности заселения излучательного уровня  ${}^4I_{13/2}$ , следовательно, интенсивность излучательного перехода  ${}^4I_{13/2} \rightarrow {}^4I_{15/2}$  в ионе  $Er^{3+}$  падает, что и видно из логарифмической зависимости интенсивности люминесценции в области 1,44–1,68 мкм от концентрации ионов  $Ho^{3+}$ , представленной на рисунке 6.

Таким образом, проведен синтез твердых растворов,  $(Y_{0.85-x}Yb_{0.1}Er_{0.05}Ho_x)_3Al_5O_{12}$ , предложены механизмы стоксовой ИК-люминесценции в диапазонах 0.96-1.1 мкм и 1.44-1.68 мкм, 1.83-2.15 мкм, а также зависимости интенсивностей люминесценции в соответствующих полосах от концентрации вводимых активаторов, установлен оптимальный состав люминофора, обеспечивающий максимальную интенсивность люминесценции в области 2000-2150 нм при возбуждении лазерным излучением с длиной волны 940 нм. Таким составом является  $(Y_{0.84}Yb_{0.1}Er_{0.05}Ho_x)_3Al_5O_{12}$ .

#### Литература

- 1. Поздняков Е. И. Синтез и исследование ИК-люминесценции твердых растворов  $(Y_{1-x}Yb_{0,1}Tm_x)_3Al_5O_{12}$  при лазерном возбуждении // Вестник Северо-Кавказского федерального университета. 2013. № 2 (35). С 113–118
- 2. Поздняков Е. И., Воробьев В. А. Изучение зависимости интенсивности и спектров люминесценции  $(Y_{1-x}Yb_{0,1}Er_x)_3Al_5O_{12}$  при лазерном возбуждении // Вестник Северо-Кавказского федерального университета. 2013. № 3 (36). С. 145–150.
- 3. Susanne T. Fredrich-Thornton. Nonlinear Losses in Single Crystalline and Ceramic Yb:YAG Thin-Disk Lasers. Dissertation zur Erlangung des Doktorgrandes des Department Physik der Universitat Hamburg. 2010. 222 p.
- 4. Yi L. X., Wang S. Y., Chen G. N. Emission properties of Ho<sup>3+</sup>:  ${}^5I_7 \rightarrow {}^5I_8$  transition sensitized by Er<sup>3+</sup> and Yb<sup>3+</sup> in fluorophosphates glasses // Optical Materials. 2009. Vol 31. P. 1586–1590.
- 5. White Jeffrey O., Mungan Carl E. Measurment of upconversion in Er:YAG via z-scan // J. Opt. Soc. Am. B. Vol.28. No. 10. P. 2358–2361.
- 6. Gruber John B., Nijjar A. S., Sardar D. K. Spectral analysis and energy-level structure of  $\mathrm{Er}^{3+}$  ( $4f^{1}$ ) in polycrystalline ceramic garnet  $\mathrm{Y}_3\mathrm{Al}_5\mathrm{O}_{12}$  // Journal of applied physics. 2005. Vol. 97. P. 1–8.
- 7. Gruber John B., Seltzer M. D. Electronic energy-level structure of trivalent holmium in yttrium aluminum garnet // Journal of applied physics. 1995. Vol. 77 (11). P. 5882–5901.